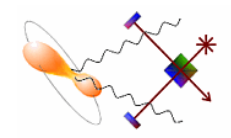


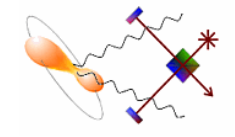
Laserinterferometrie,
eine
potentielle Meßmethode
zur
Gravitationswellendetektion?

Gliederung

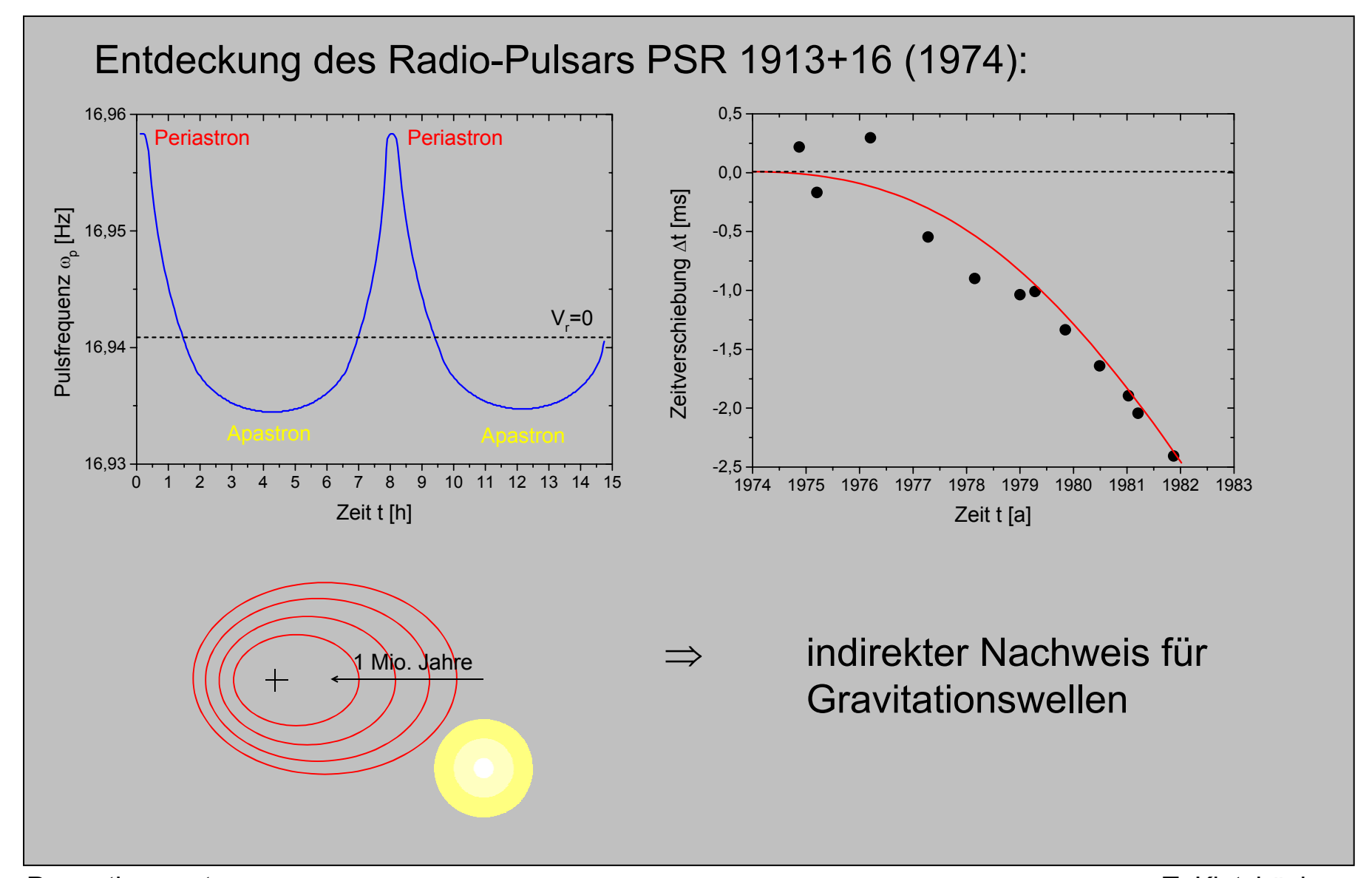


- Einführung
- Gravitationswellen
- Prinzip eines Laserinterferometers
- Rauschquellen, Rauschunterdrückung
- Betrieb
- Methoden zur Empfindlichkeitssteigerung
- Vergleich zu resonanten Massenantennen
- Weltraumgebundene Interferometer
- Weltweite Aktivitäten und Erfolgsaussichten

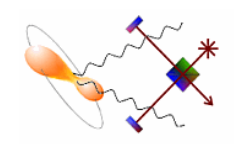
Zusammenfasung



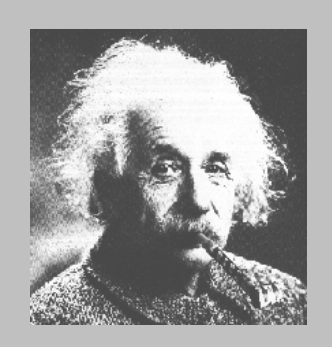
Nobel-Preis für Physik 1993 (Hulse und Taylor)



Einsteins Feldgleichungen



Ausgangspunkt:
$$R_{\mu\nu} = -\frac{8\pi G}{c^4} \left(T_{\mu\nu} - \frac{T}{2} g_{\mu\nu} \right)$$



(Einstein 1915)

$$R_{\mu\nu} = R_{\mu\nu}(g_{\mu\nu})$$
 Krümmungstensor

$$T_{\mu\nu}$$
 Energie-Impuls-Tensor

$$g_{\mu\nu}$$
 Metrik-Tensor \Longrightarrow Raumgeometie

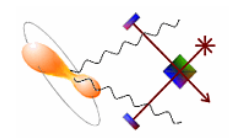
$$\Longrightarrow \text{ Abstände } \text{ ds}^2 = g_{\mu\nu} \cdot x^\mu \cdot x^\nu$$

$$g_{\mu\nu} = \delta_{\mu\nu} = \begin{pmatrix} 1 & 0 & 0 \\ 0 & 1 & 0 \\ 0 & 0 & 1 \end{pmatrix}, \ ds^2 = dx^2 + dy^2 + dz^2 \qquad \qquad g_{\mu\nu} = \eta_{\mu\nu} = \begin{pmatrix} 1 & 0 & 0 & 0 \\ 0 & -1 & 0 & 0 \\ 0 & 0 & -1 & 0 \\ 0 & 0 & 0 & -1 \end{pmatrix}, \ ds^2 = c^2t^2 - dx^2 - dy^2 - dz^2$$

(Eukidische Metrik)

(Minkowski-Metrik)

Einsteins Feldgleichungen



$$g_{\mu\nu} = \eta_{\mu\nu} + h_{\mu\nu}$$
 mit $|h_{\mu\nu}| << 1$

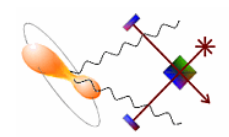
$$\frac{\partial h^{\mu}_{\ \nu}}{\partial x^{\mu}} - \frac{1}{2} \frac{\partial h^{\mu}_{\ \mu}}{\partial x^{\nu}} = 0 \qquad \text{(Einstein-Eichung)}$$

$$\left(\frac{1}{c^2}\frac{\partial^2}{\partial t^2} - \Delta\right) h_{\mu\nu} = -\frac{16\pi G}{c^4} \cdot S_{\mu\nu} \quad \text{mit} \quad S_{\mu\nu} = T_{\mu\nu} - \frac{T}{2} \, \eta_{\mu\nu} \quad \text{(Wellengleichung)}$$

Lösung in Analogie zur Elektrodynamik:

$$h_{\mu\nu}(\vec{r},t) = -\frac{4G}{c^4} \int d^3r' \frac{S_{\mu\nu}(\vec{r}',t-\left|\vec{r}-\vec{r}'\right|/c)}{\left|\vec{r}-\vec{r}'\right|} \qquad \text{(Retardierte Potentiale)}$$

Testmassen im Feld einer ebenen Welle



Für ebene Wellen:

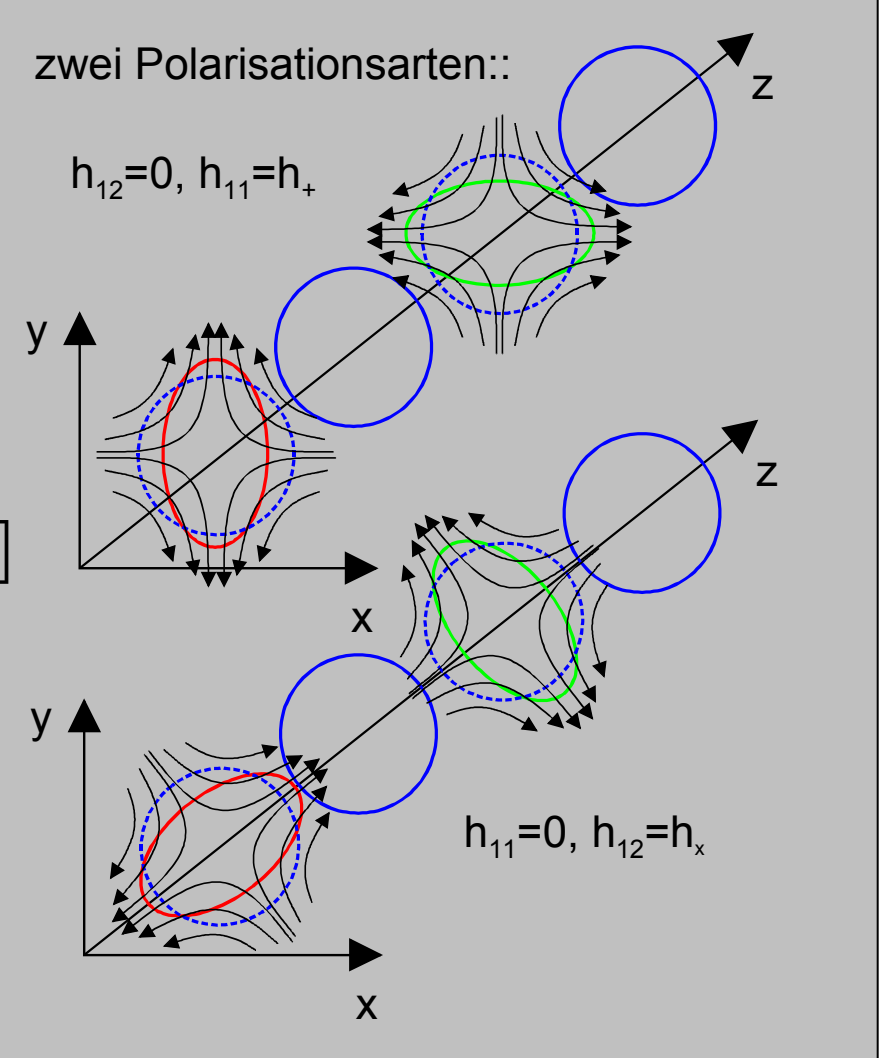
$$\left(\frac{1}{c^2}\frac{\partial^2}{\partial t^2} - \Delta\right) h_{\mu\nu} = 0$$

mit Lösung:

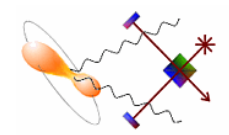
$$h_{\mu\nu}(z,t) = \begin{pmatrix} 0 & 0 & 0 & 0 \\ 0 & h_{11} & h_{12} & 0 \\ 0 & h_{12} & -h_{11} & 0 \\ 0 & 0 & 0 & 0 \end{pmatrix} exp[ik(z-ct)]$$

Energiestromdichte:

$$\Phi_{GW} = \frac{c^3}{8\pi G} \cdot \omega^2 \cdot h^2$$

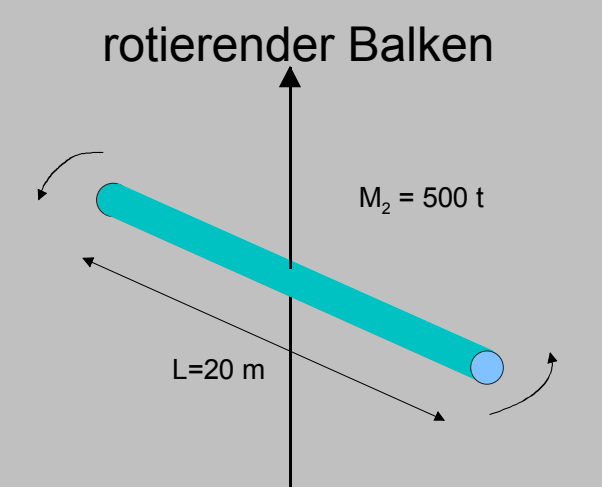


Testmassen im Feld einer ebenen Welle

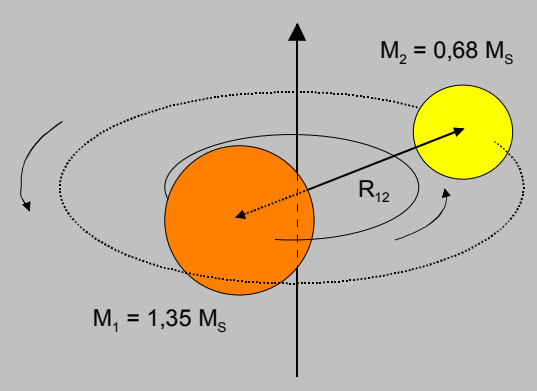


Quadrupolstrahlung einer rotierenden Massenverteilung:

$$P = \frac{2G\omega^6}{5c^5} \left(\sum_{i,j=1}^{3} \left| Q^{ij} \right|^2 - \frac{1}{3} \left| \sum_{i=1}^{3} Q^{ii} \right|^2 \right) = \frac{32G\omega^6}{5c^5} \epsilon^2 I^2$$







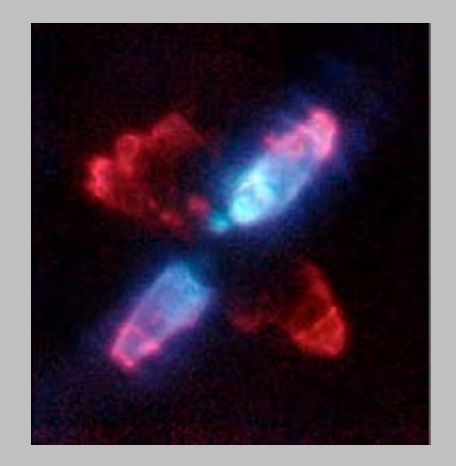
 \Rightarrow h=10⁻³⁴ m

T=0.268 dP≈1023 W

 Φ GW \approx P/L2=10-31 W/cm² Φ GW \approx P/4 π D2=10-13 W/cm² Φ GW \approx P/4 π D2=103 W/cm²

$$\Rightarrow$$
 h=10⁻²⁰ m

Supernova



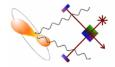
T=1 ms (Dauer 0,1 s!) P≈1046 W

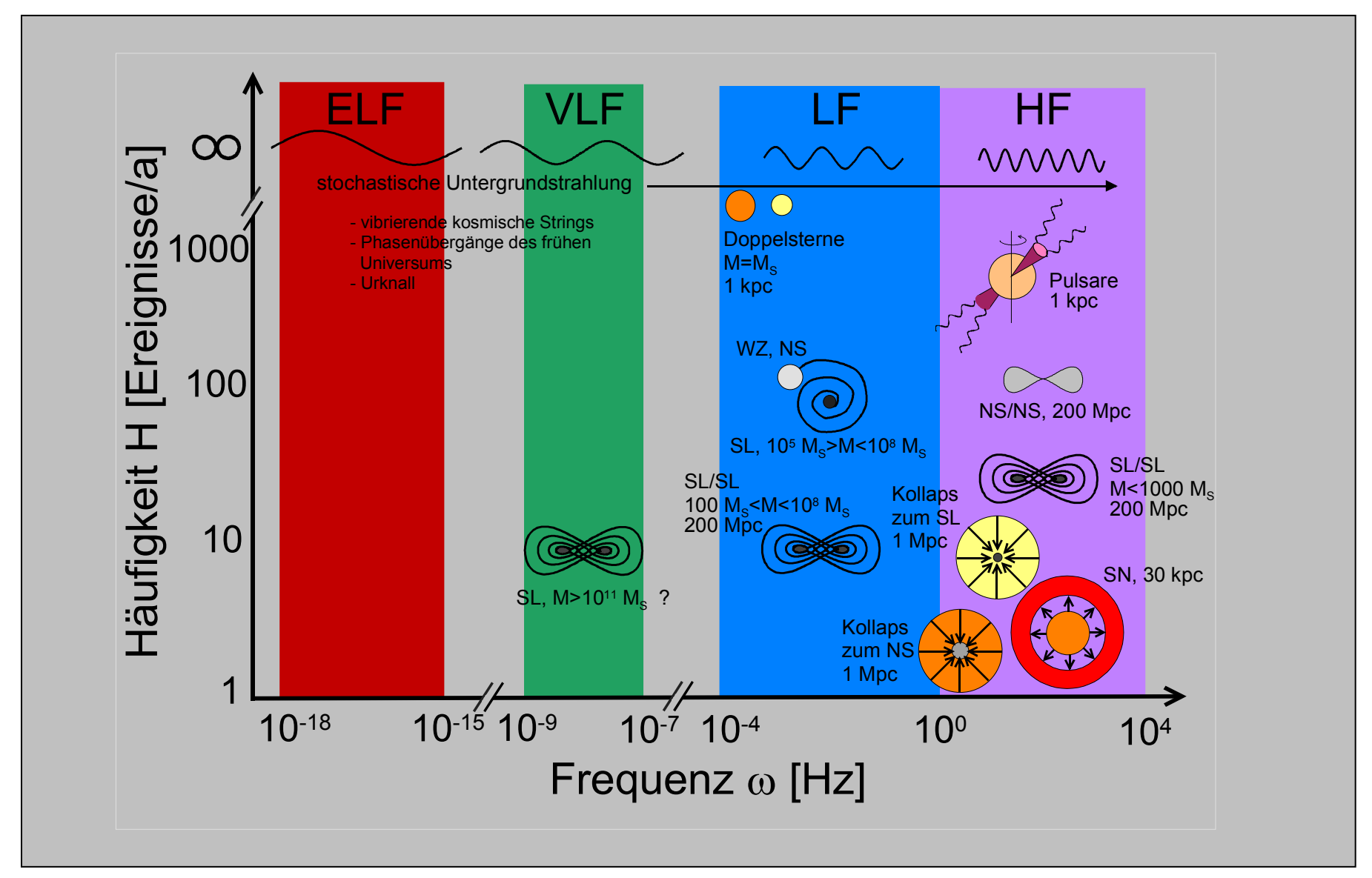
 \Rightarrow h=10⁻¹⁹ m

T=30 ms

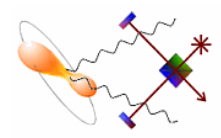
P≈10-29 W

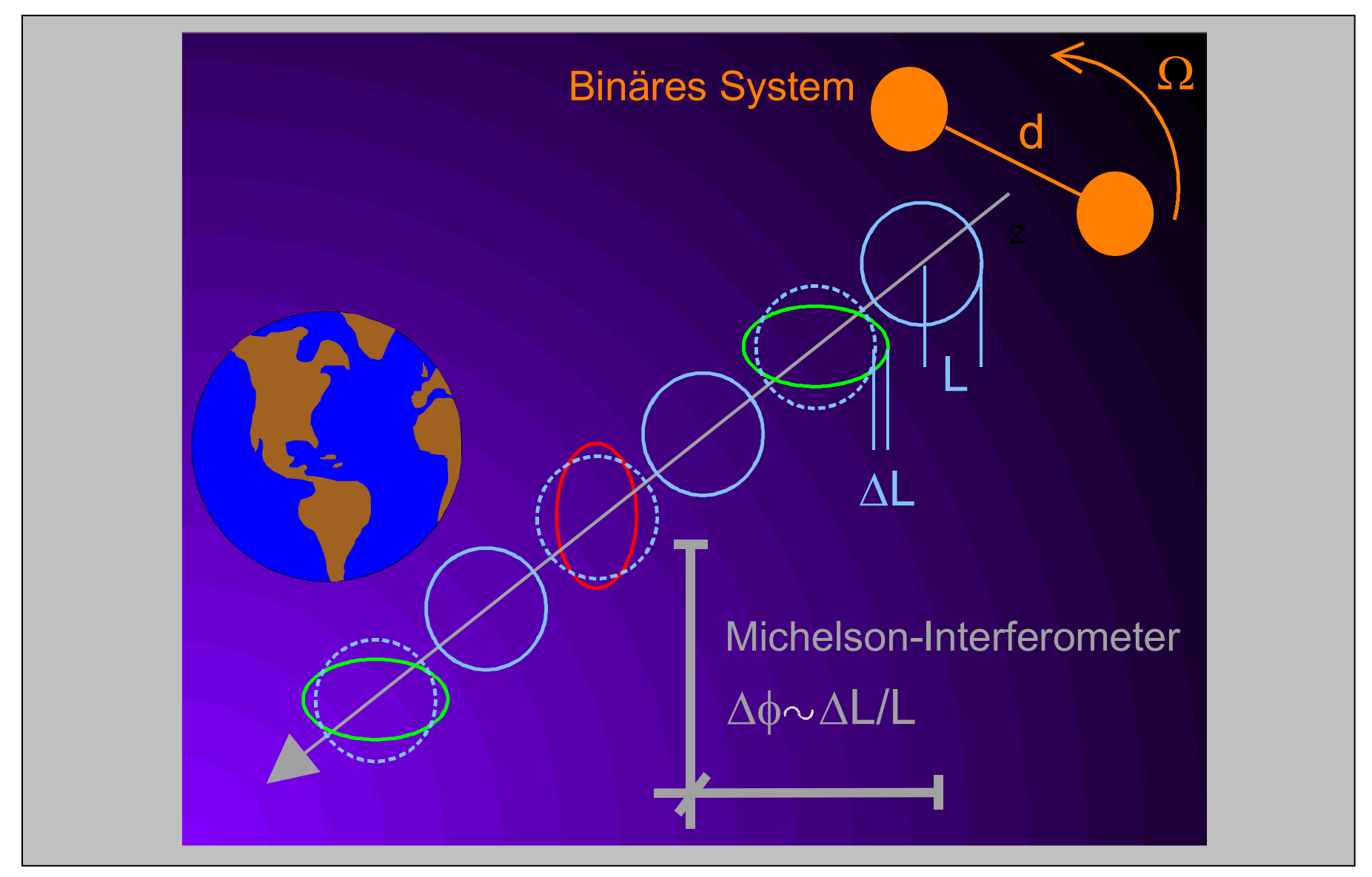
Typische Vertreter, Frequenzen und Häufigkeiten



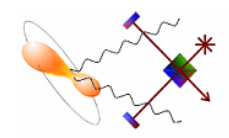


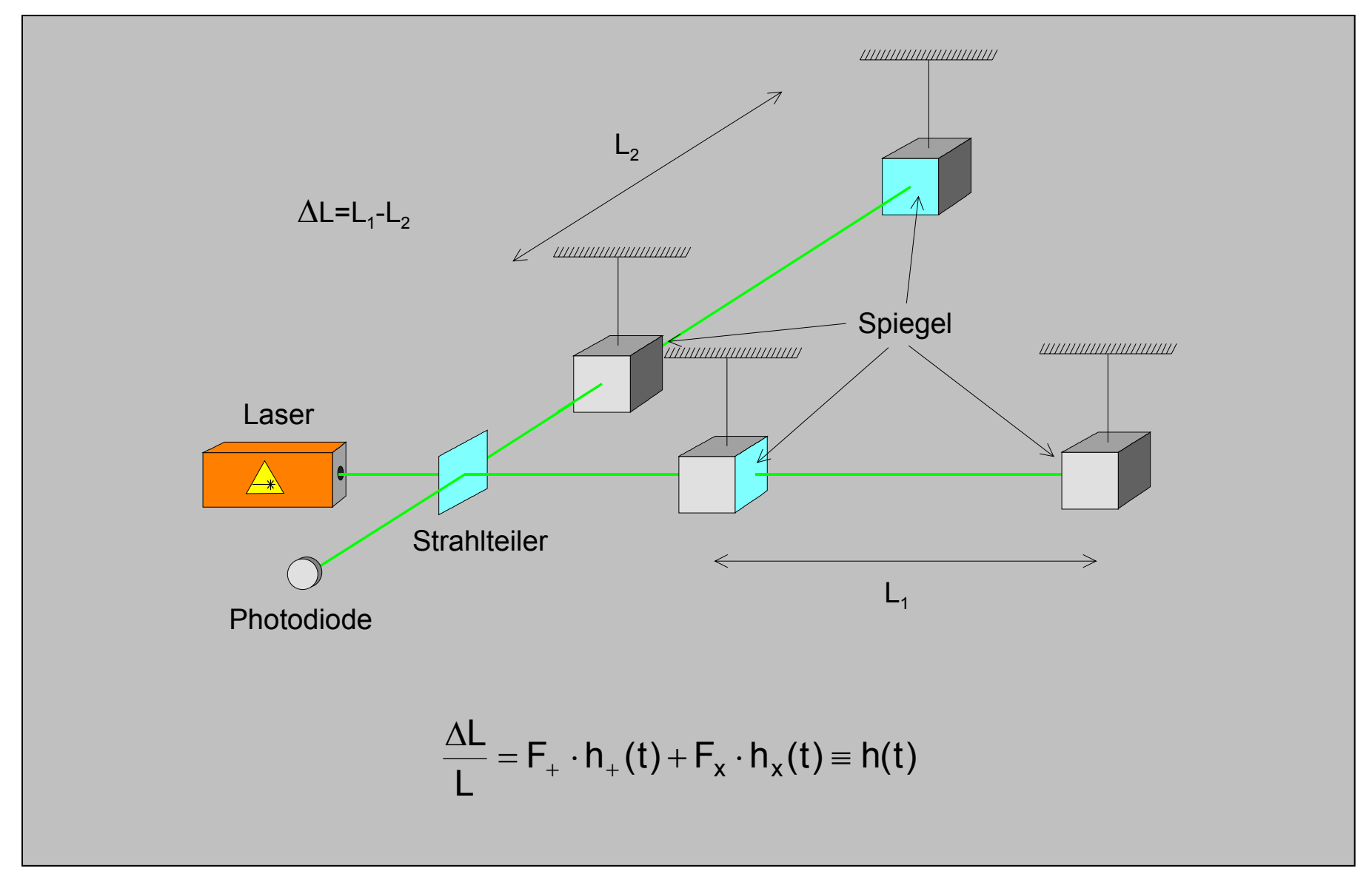
Prinzip der interferometrischen Detektion



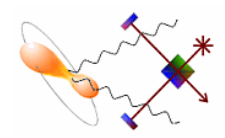


Aufbau eines Laserinterferometers





Erdgebundene Interferometer (LIGO)





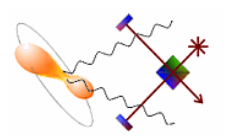
Livingston (Louisiana)

Armlänge: 4 km!



Hanford (Washington)

Nachweisgrenze, Schrotrauschen



$$\Delta \Phi_{GW} = 2\pi \frac{B\Delta L}{\lambda_{\gamma}} = \frac{2\pi BL}{\lambda_{\gamma}} h$$

(Phasendifferenz durch GW)

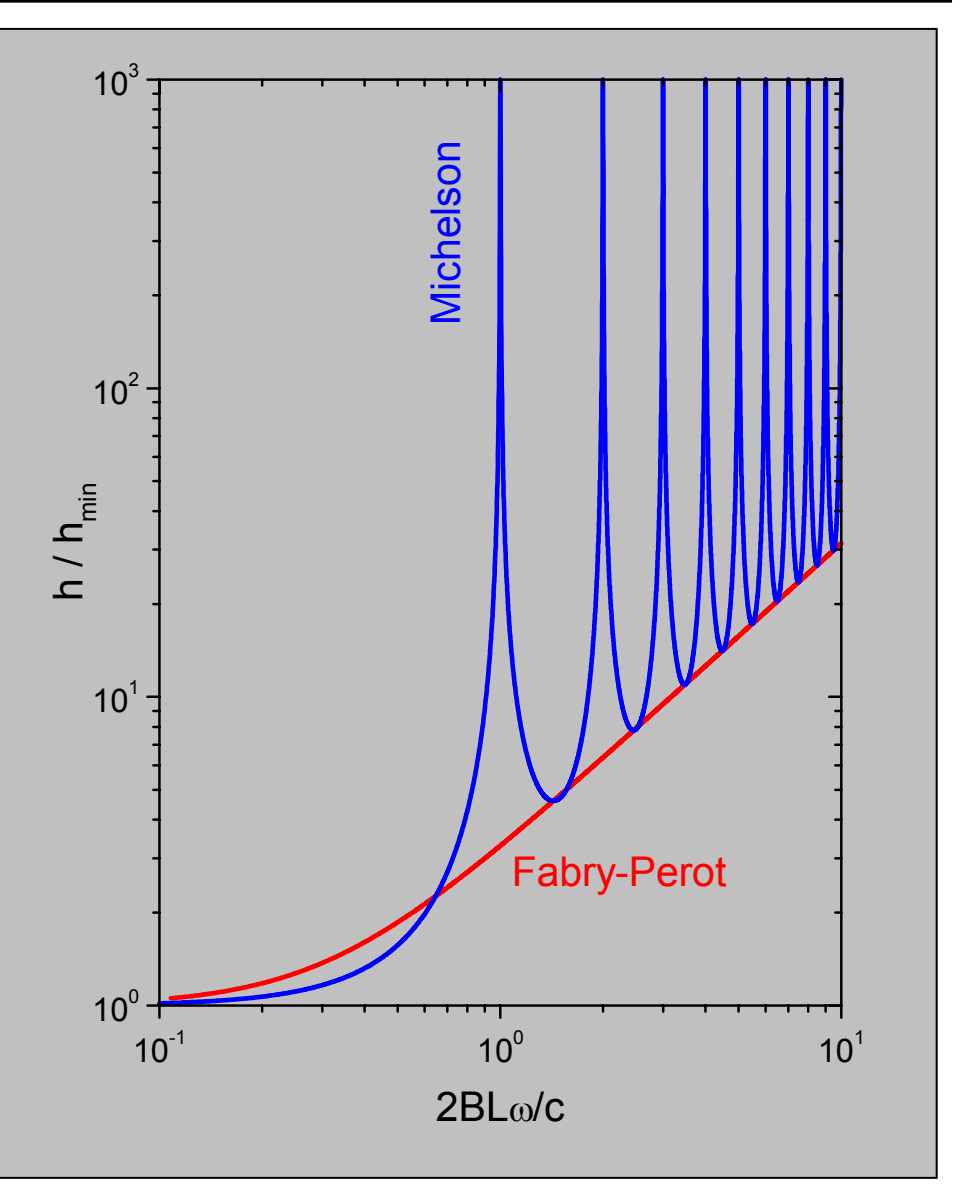
$$\Delta\Phi_{QM} \geq \frac{1}{2\Delta N} \approx \frac{1}{2\sqrt{N}}$$

(QM Phasenunschärfe)

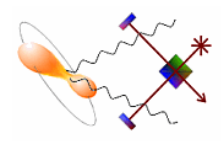
 $N=P_{\gamma}\Delta t/\eta\omega_{\gamma}$ mit $\Delta t=BL/c$

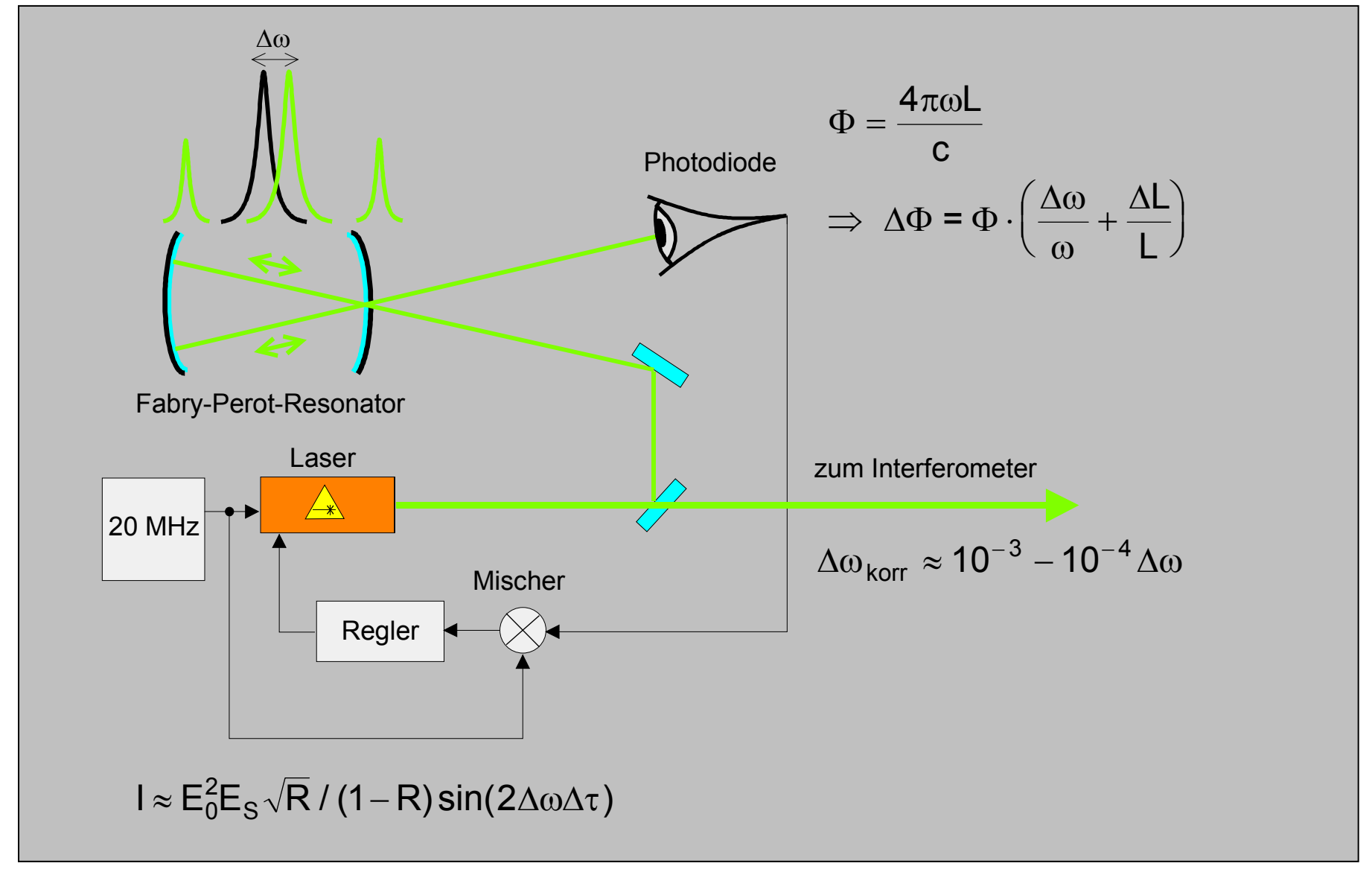
$$\implies \qquad h \geq \sqrt{\frac{c^2 \hbar \lambda_{\gamma}}{8\pi B^3 L^3 P_{\gamma}}} = h_{min}$$

Photonen-Schrotrauschen

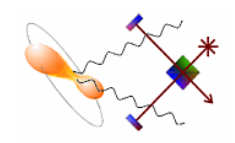


Frequenzstabilisierung (Pound, Drever, Hall)





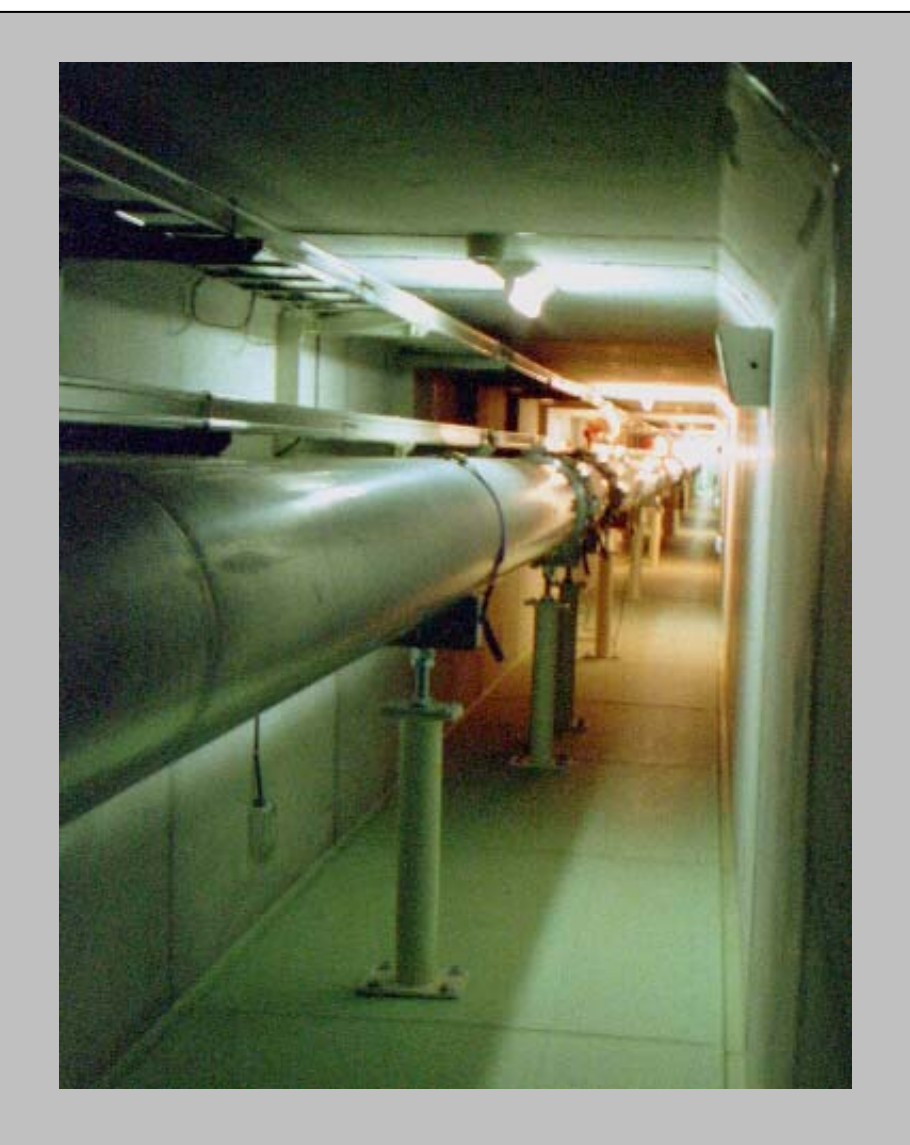
Vakuumsystem



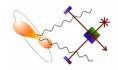


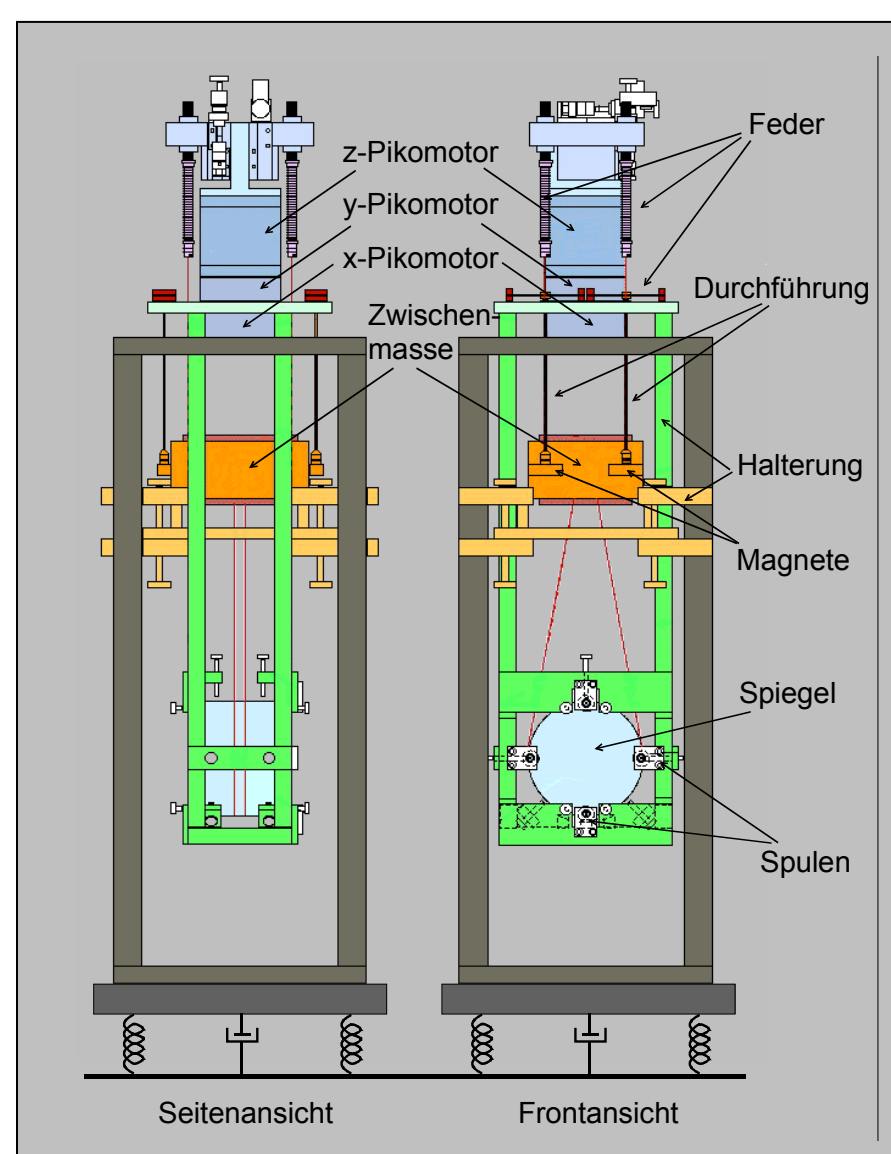
$$\Delta\Phi = (n_{Luft} - 1)\frac{2\pi L}{\lambda}$$

Basisdruck: p=10⁻⁹ bar !



Mechanische Dämpfung







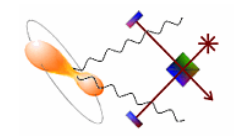


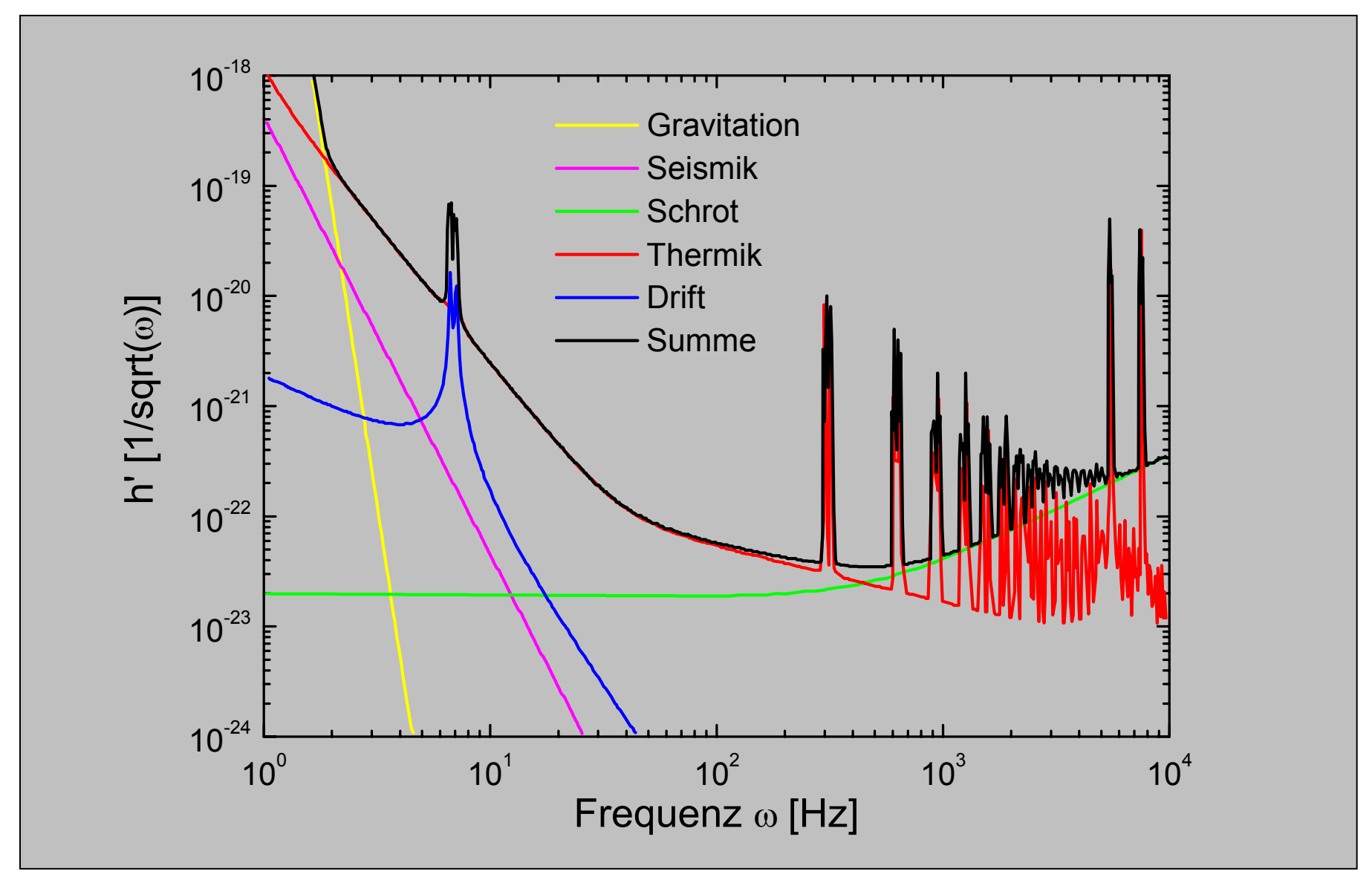
SiO₂-Spiegel

RMS<λ/600!

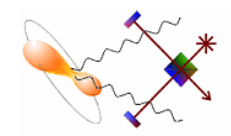
$$Q = \frac{\omega}{\Delta \omega} = \frac{1}{2D} \approx 10^7$$

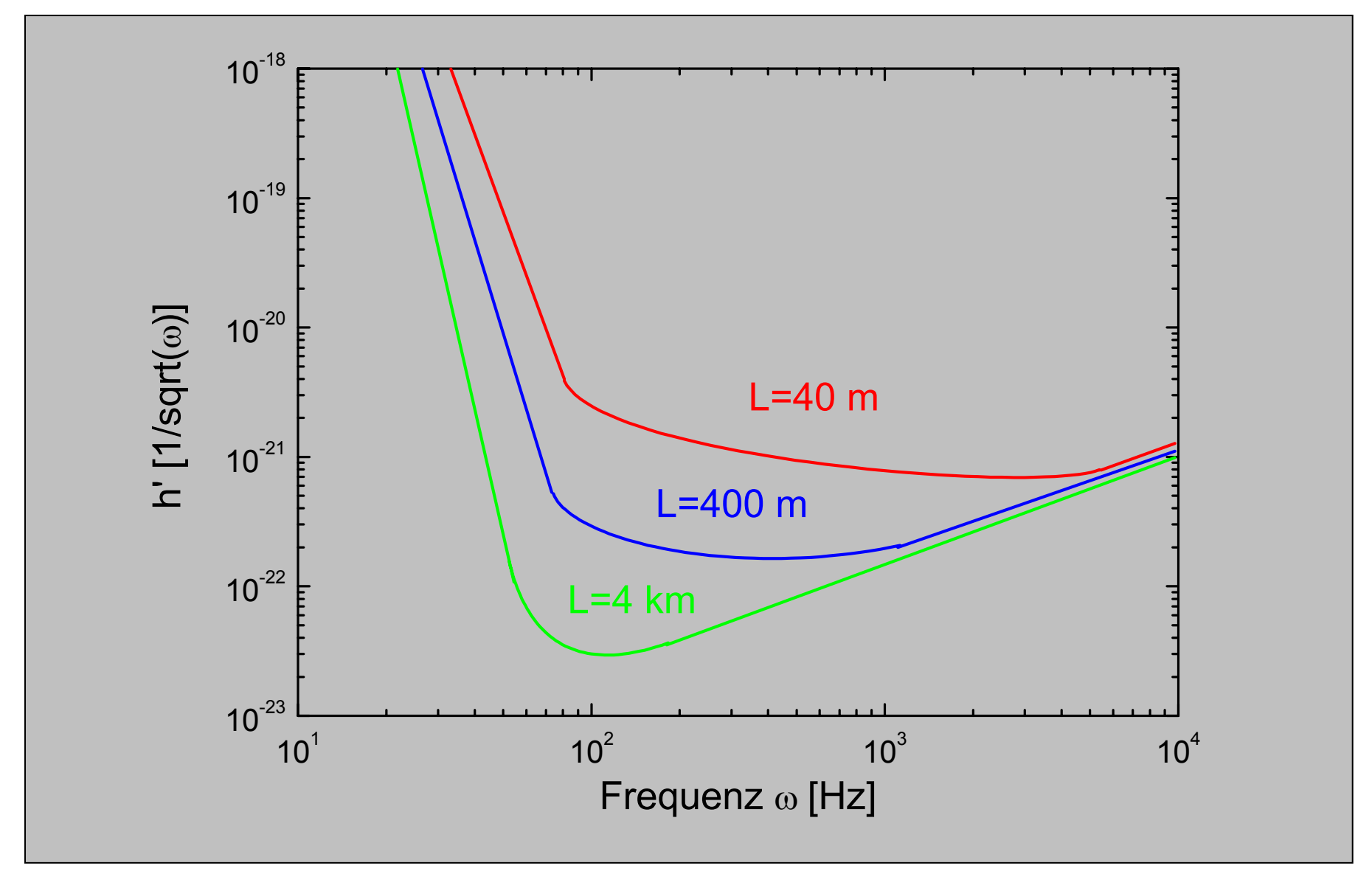
Gesamtempfindlichkeit



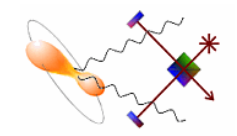


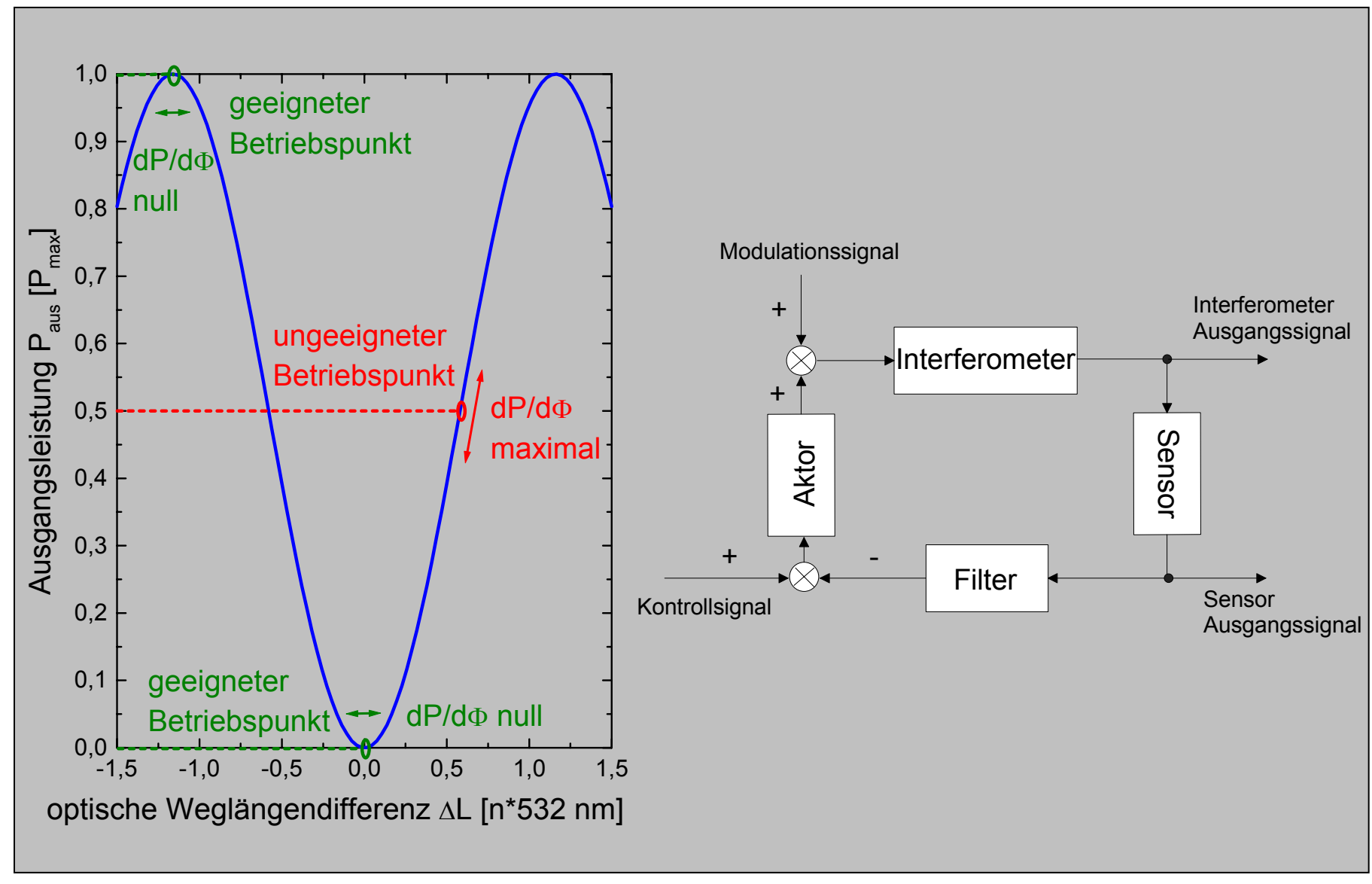
Einfluß der Armlänge



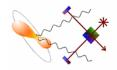


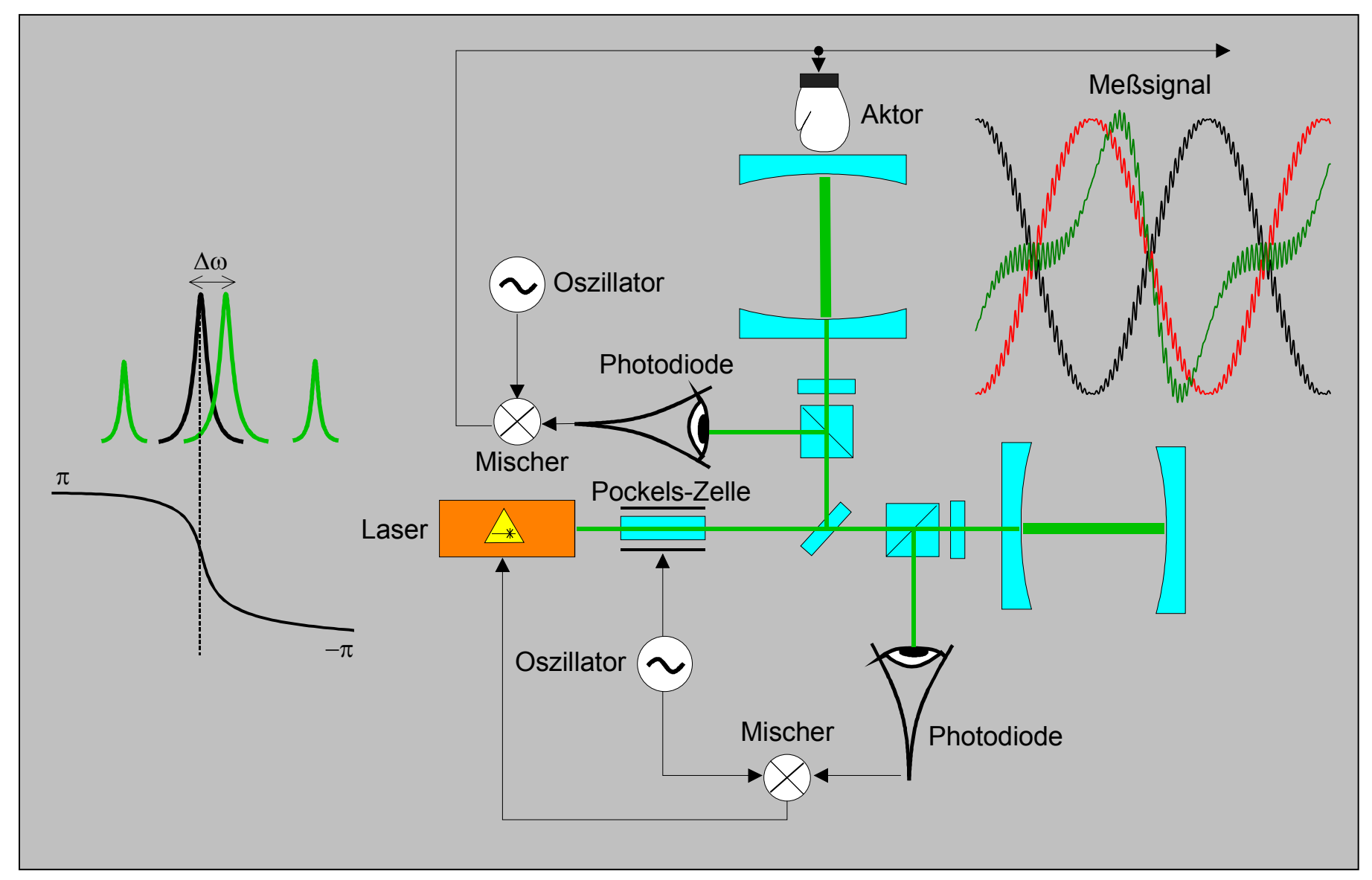
Betrieb des Interferometers



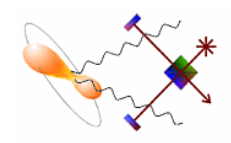


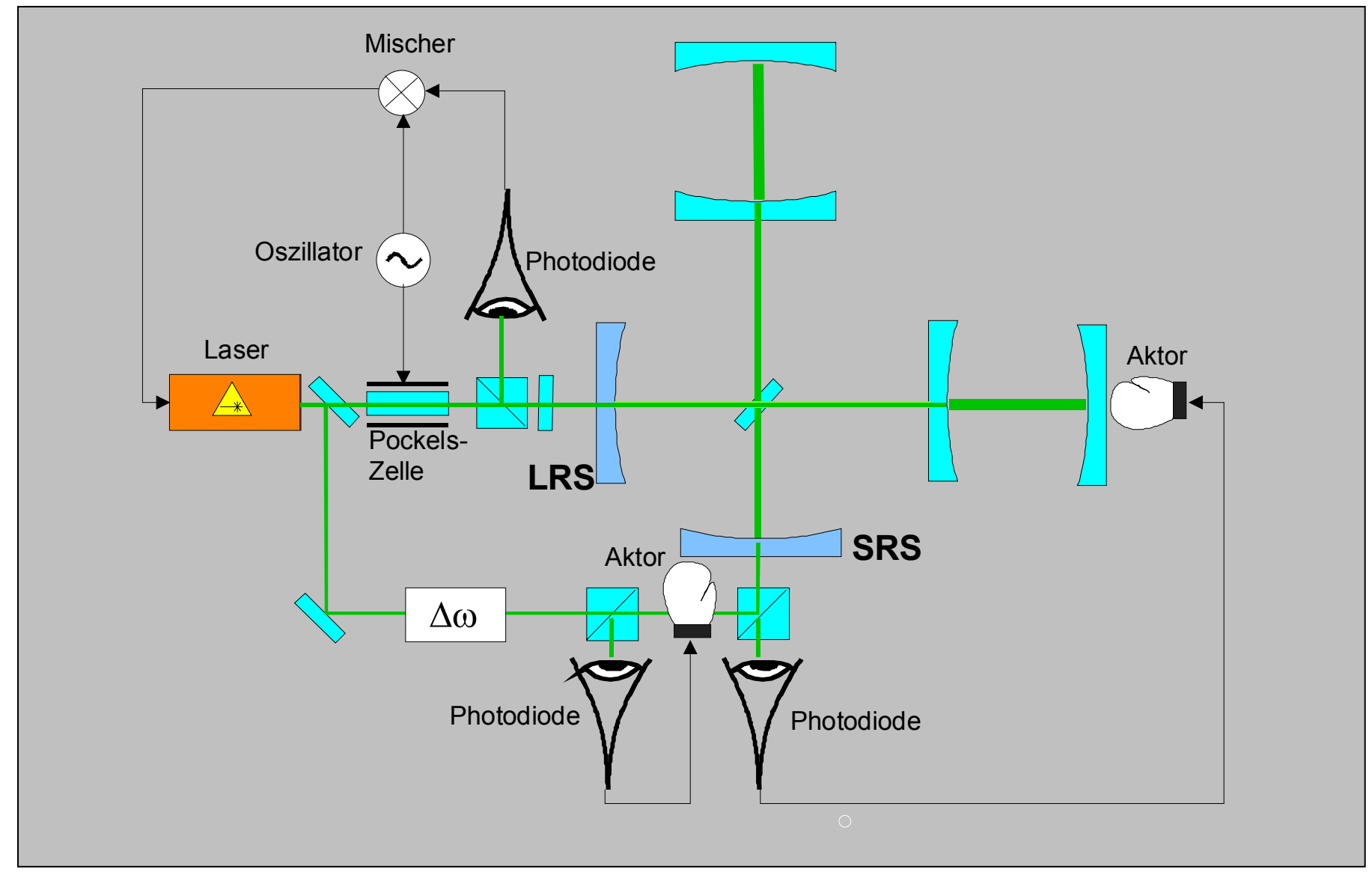
Realisierung



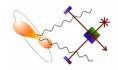


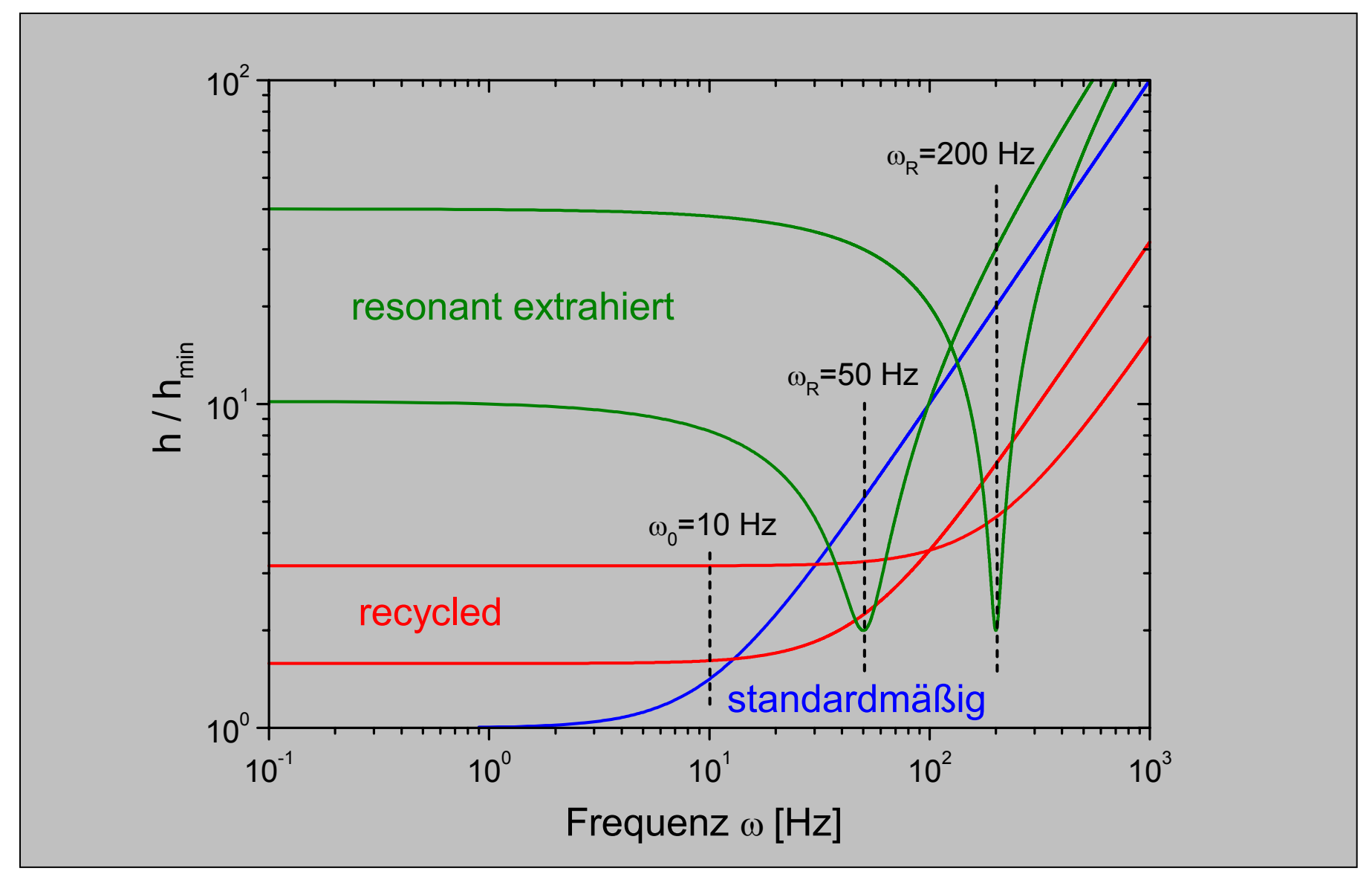
Lichtrecycling und Seitenbandextraktion





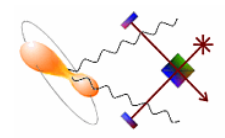
Empfindlichkeitssteigerung

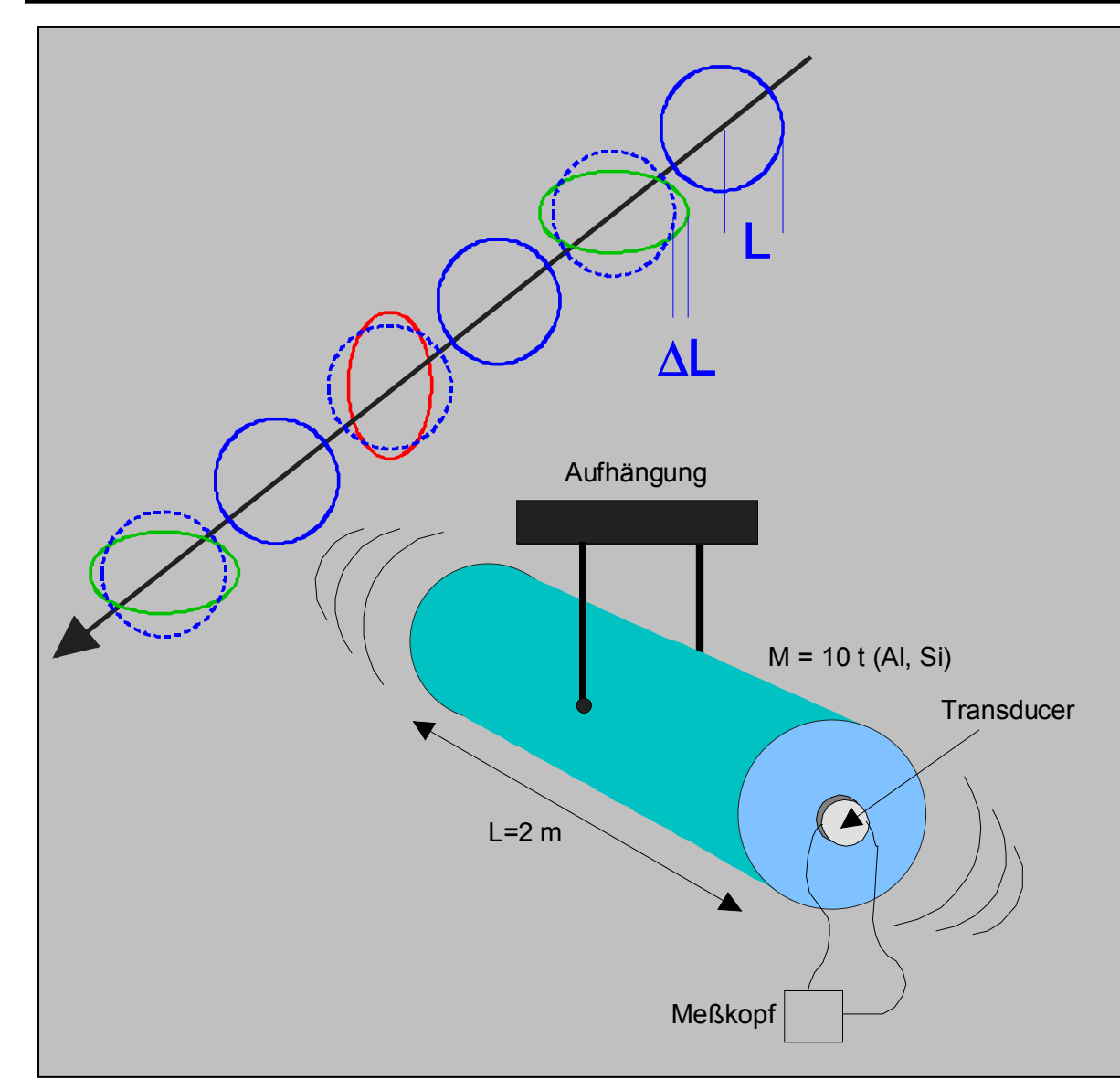




Promotionsvortrag

Prinzip einer resonanten Massenantenne





Fundamentalfrequenz

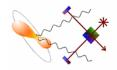
$$\omega_0 \approx \frac{V_s}{L} \approx 1 \text{ kHz}$$

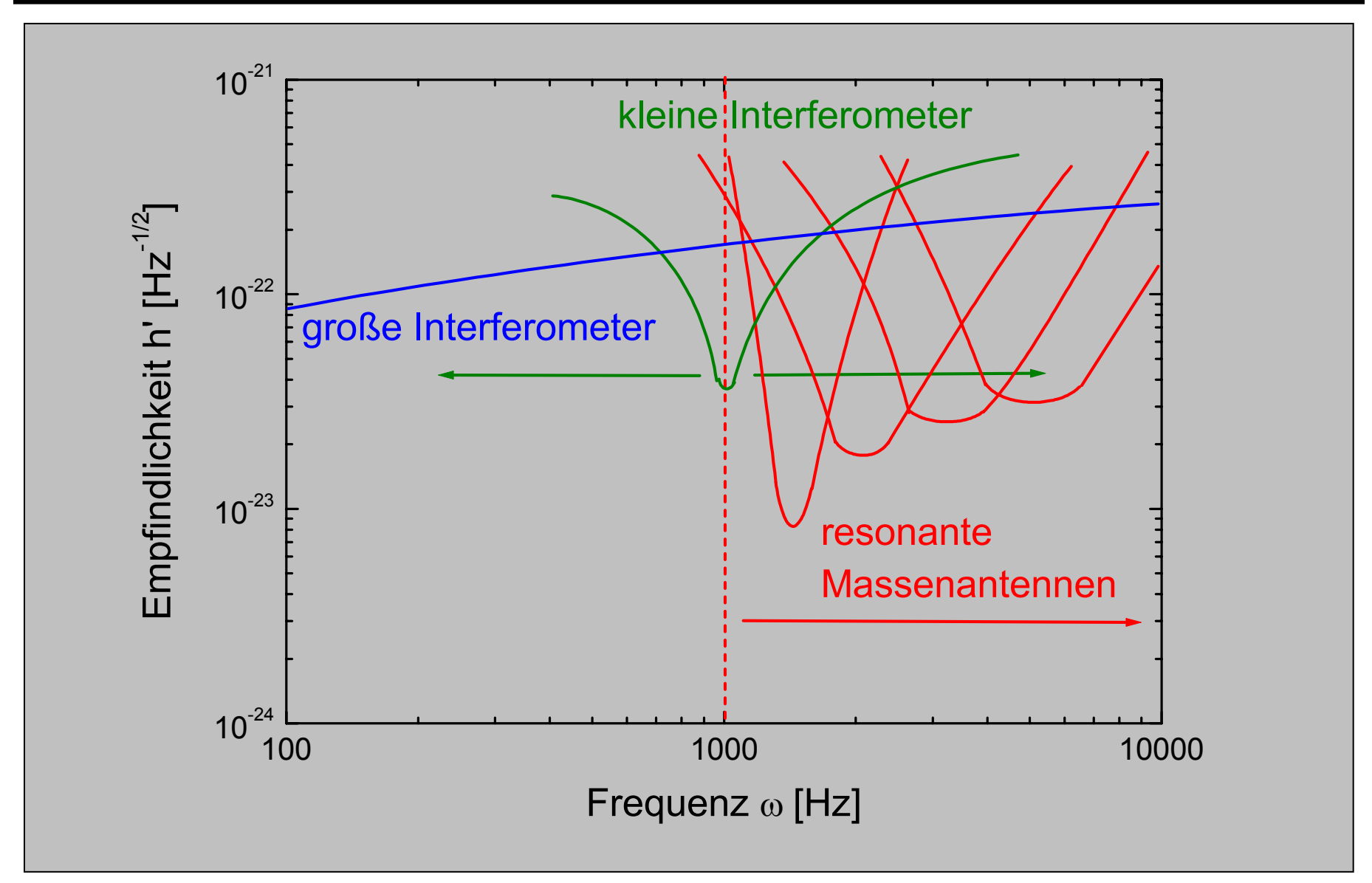
Empfindlichkeit

$$h_{min}(\tau) = \sqrt{\frac{2\pi^2 k T \gamma}{M\omega_0^4 L^2 \tau}}$$

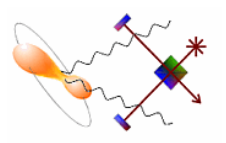
h_{min}(4 Monate)≈10⁻²²!

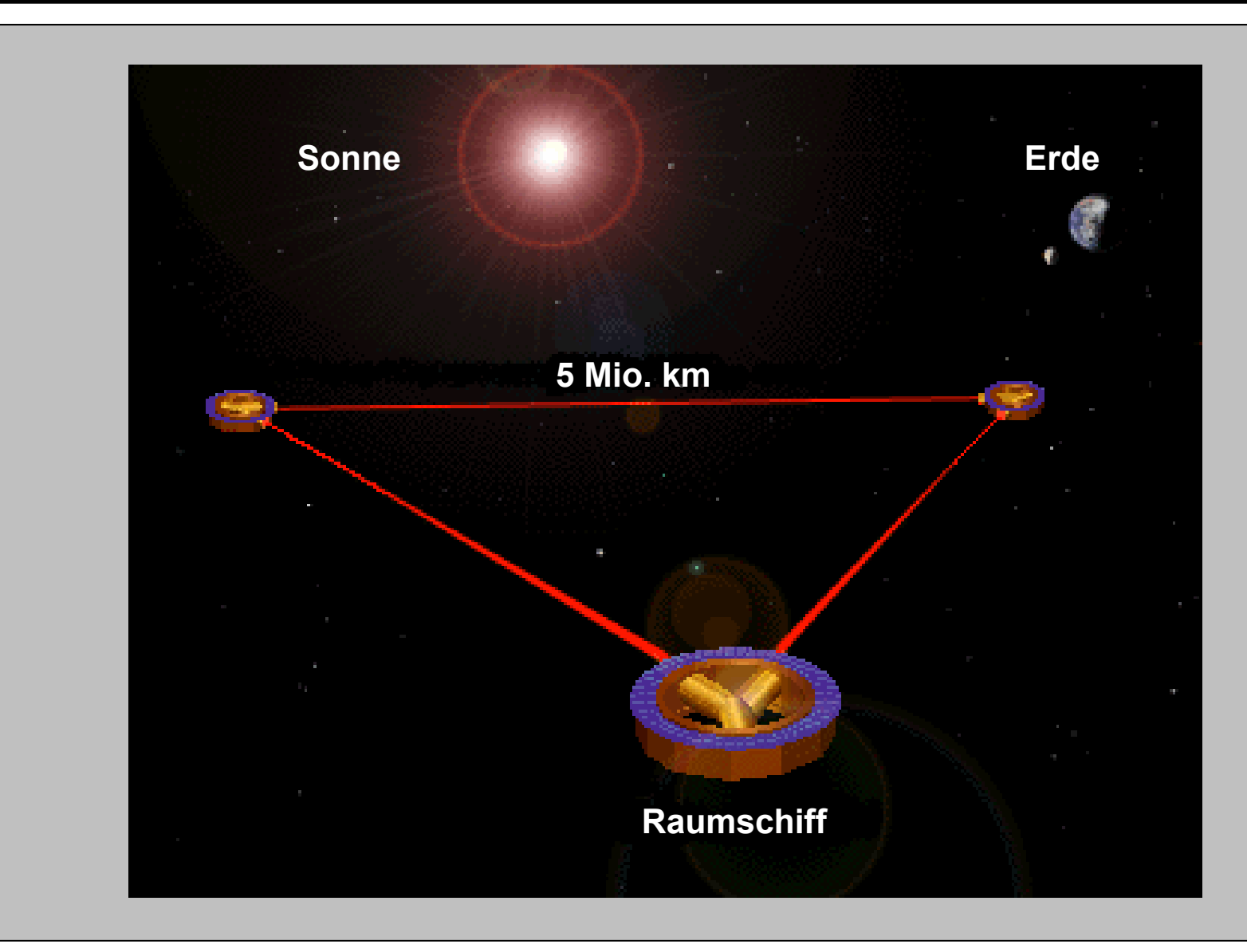
Vergleich der Empfindlichkeiten



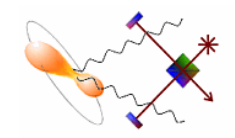


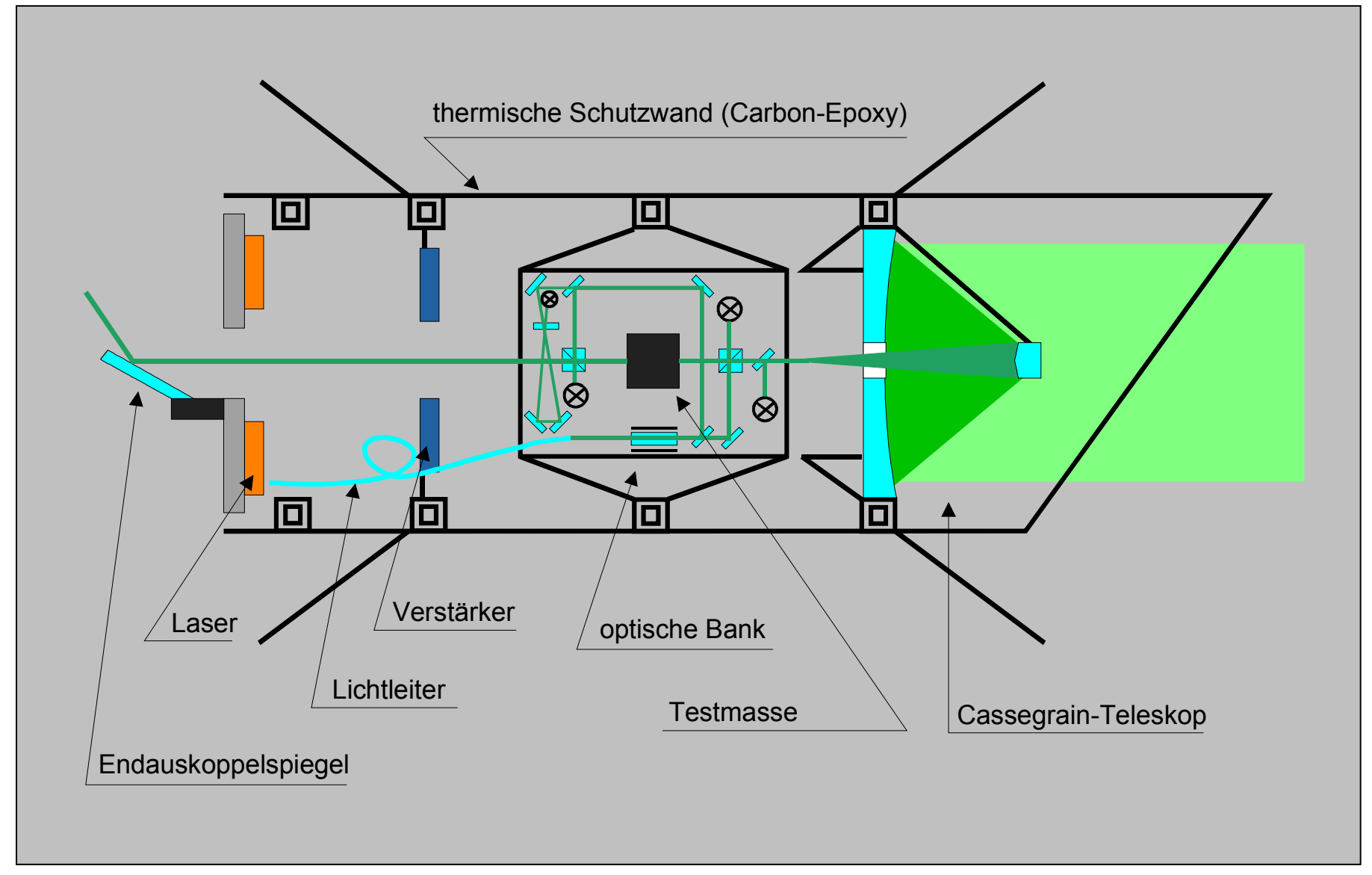




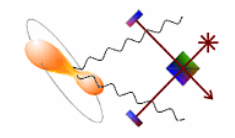


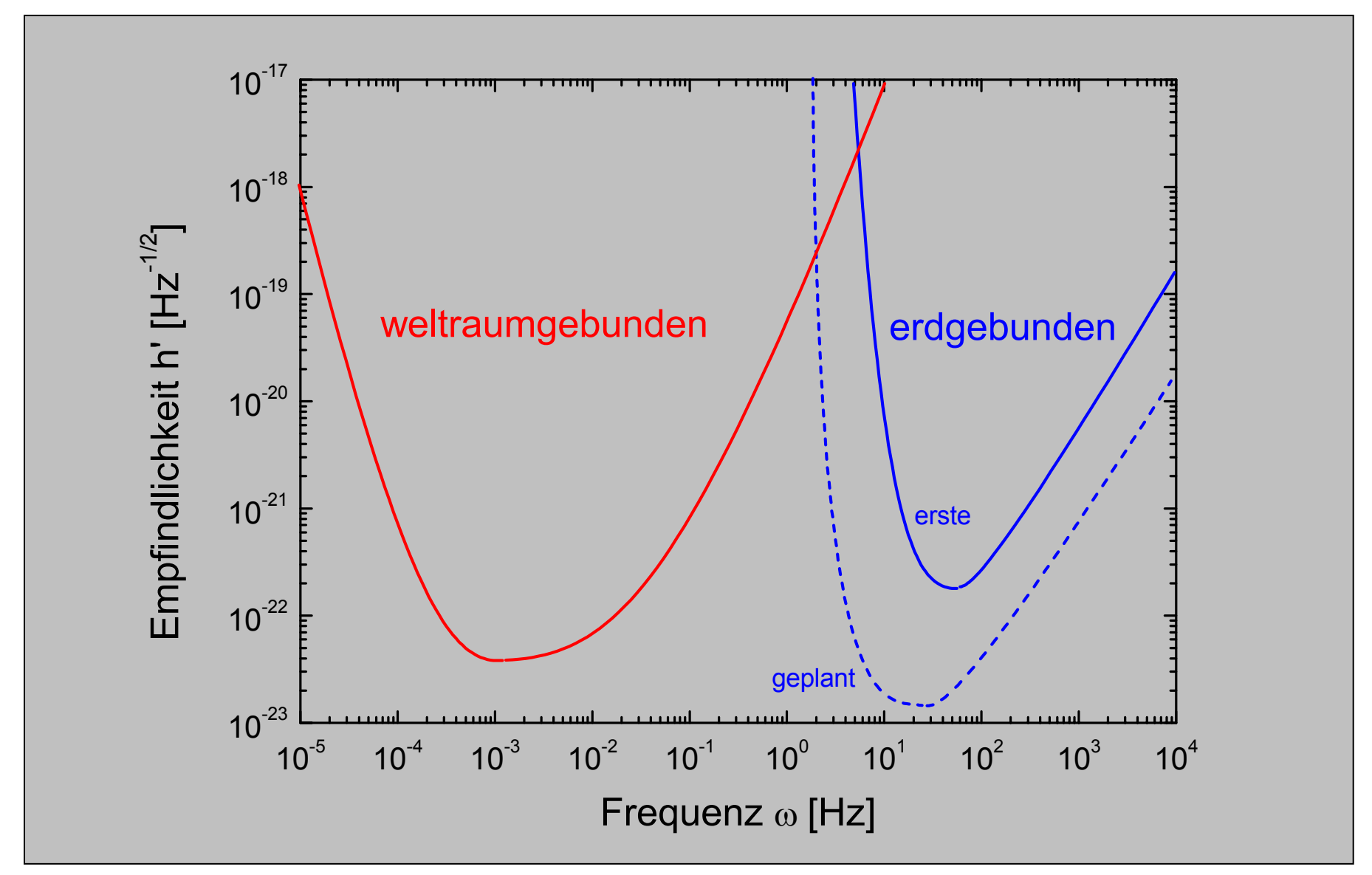
Optischer Aufbau



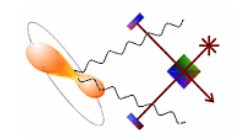


Empfindlichkeit



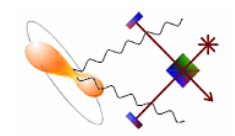


Weltweite Großprojekte

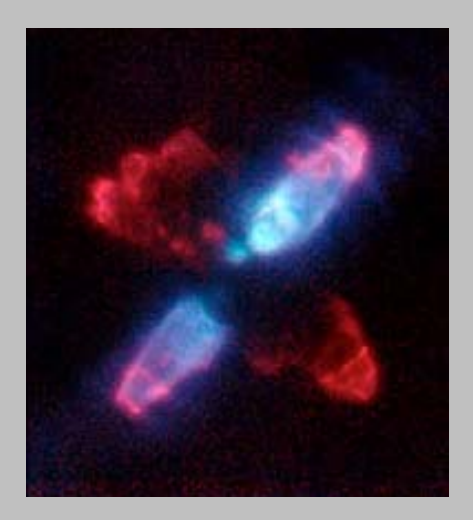


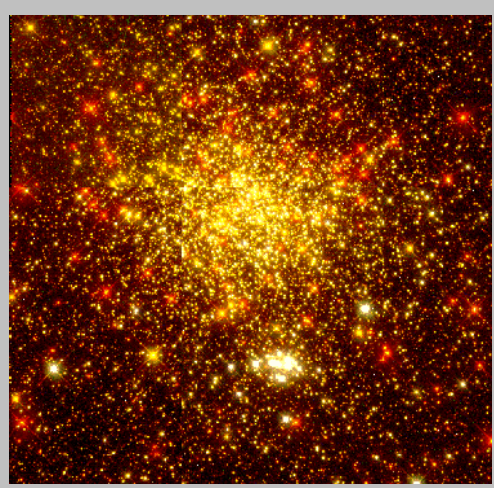
Projekt	Land	Art	Budget [Mio US \$]	Start	Kooperation
LIGO (Laser Interferometric Gravitational Wave Observatory)	USA	erdgeb., 4 km Armlänge (2 Stk.)	80-100	2000	VIRGO
VIRGO	Frankreich / Italien	erdgeb. 3 km Armlänge	40	2000	LIGO
GEO600	Deutsch- land / Schottland	erdgeb. 600 m Armlänge	<20	2000	VIRGO / LIGO ?
TAMA	Japan	erdgeb. 300 m Armlänge	<20	2000	VIRGO / LIGO ?
LISA (Laser Interferometric Space Antenna)	USA / Europa (NASA/ESA)	weltallgeb. 5 Mio. km Armlänge	>960	2008	_

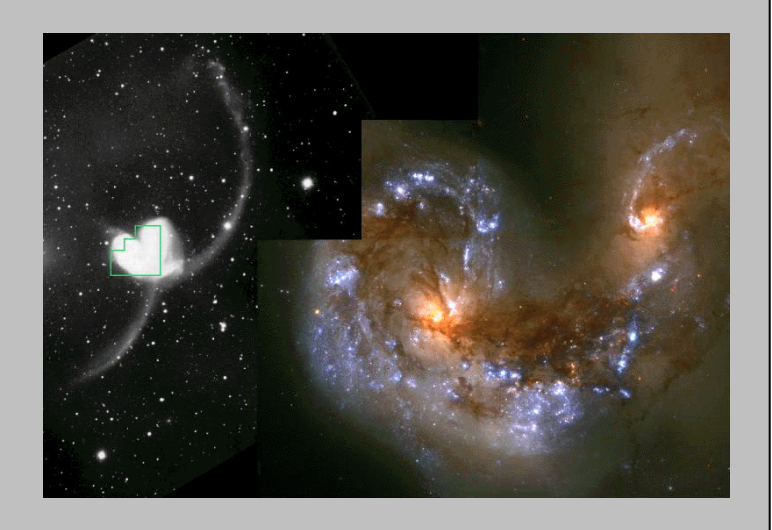
Zielsetzung



- 1) Experimenteller Nachweis von Gravitationswellen
- 2) Gravitationswellen-Astronomie





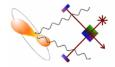


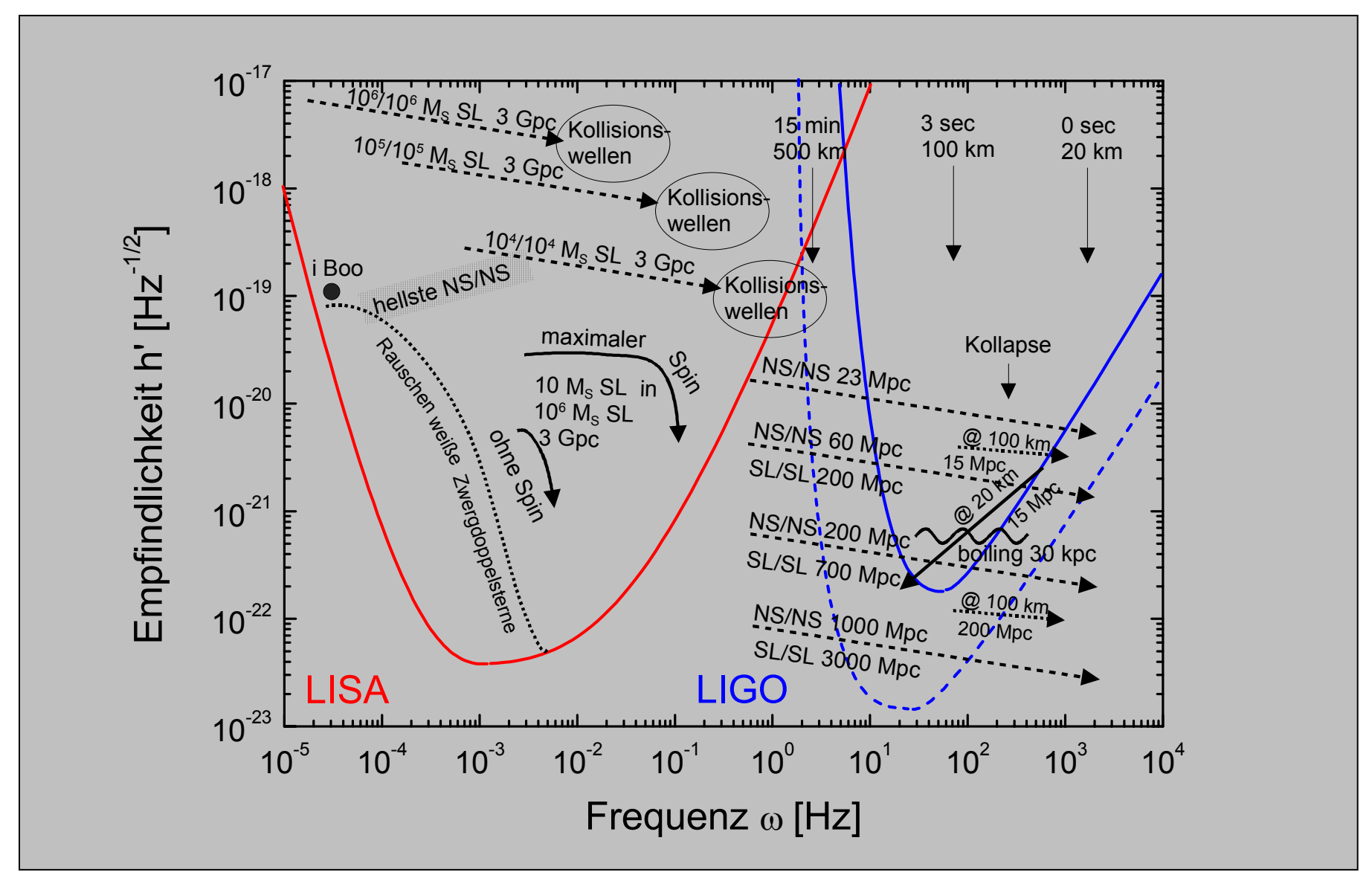
Supernovae

Sternkollisionen in Sternhaufen

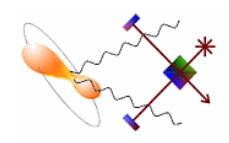
Kollision supermassiver schwarzer Löcher in Galaxienzentren

Gravitationswellenastronomie





Zusammenfassung



- Indirekte experimentelle Evidenz für Gravitationswellen
- Große Vielzahl astronomischer Quellen
 - ⇒ neuer Zweig der Astronomie
- Experimenteller Nachweis mit Laser-Interferometern
- Vorteile: große Bandbreite hohe Empfindlichkeit niedrige Frequenzen zugänglich
- Weltweit 5 Großprojekte
- Erste Resultate im Jahr 2000 erwartet